

### III-56 高階自己回帰モデルによる沈下予測の簡便法

名古屋大学工学部 学 〇長谷部 厚  
 ハ 正 松尾 稔  
 ハ 正 清岡 顯

#### 1 はじめに

著者らは圧密沈下を予測するのに、自己回帰モデルを観測値にあわせそれを外挿しておこなうという手法を提案している。<sup>1)</sup> この手法は1次元圧密理論に忠実な方法であり、しかもモデルのパラメータを土質調査からではなく実際の沈下観測値から定めることであるから予測の精度はもともと高いと考えられる。この方法はさらに、 $C_s$ や $R_s$ が深さ方向に変化する多層地盤に対して(もしくはこれら地盤について何の事前情報がない場合)正確に妥当するため、実用性をもつて高いと期待される。<sup>2)</sup>

しかし、高精度な予測値を得るにすれば、ときには、高階の非定常自己回帰モデルを必要とするし、その係数推定はそれほど容易ではない。そこでニニギは、このよきを場合に手軽に使用できる、新しい図解法を示す。

#### 2 自己回帰モデルの解

次の自己回帰モデル

$$P_j = \beta_0 + \sum_{s=1}^n \beta_s P_{j-s} \quad (1)$$

$$P_j = P(t_j), \quad t_j = \Delta t \cdot j$$

は  $1 - \sum_{s=1}^n \beta_s = 0$  のとき、

$$P_j = \frac{\beta_0}{1 - \sum \beta_s}$$

として、

$$P_j = P_j + \sum_{s=1}^n C_s (R_s)^j \quad (2)$$

なる一般解をもつ。 $C_s$  ( $s=1, 2, \dots, n$ ) は  $P_j$  の  $n+1$  の初期条件(實際には式(2)の観測値へのあわせ)によると定められる。( $t_j$  が時刻  $t_j$  における圧密沈下のときは  $C_s$  は初期過剰間げき水压分布、またはヒンミ分布に対応する)  $R_s$ ,  $s=1, 2, \dots, n$  は持続方程式  $R^n - \sum \beta_s R^{n-s} = 0$  の根である。 $P_j$  が圧密沈下のときは  $R_s$  はすべて 0 より 1 の間に相異なる実根である。 $R_s$  の対数は  $n$  番目の圧密固有値に比例する。また式(2)で  $P_j$  は最終沈下量を表す。係数  $\beta_0, \beta_s$  が沈下の初期観測値から推定できれば式(2)によく簡単な予測される。

#### 3 高階自己回帰モデルの係数推定の新しい方法

式(1)で  $n=1$  のモデルを利用するとその係数  $\beta_0, \beta_1$  の推定方法とその適用事例はすでに述べた。<sup>1), 3)</sup> 図解法も容易である(図1)。ニニギはこれが 2 以上の場合を考える、観測値を直接式(1)にあわせても、すべての係数を同時に最小自乗法で定めるやり方は、式(1)が近似的  $P_{j-s}, P_{j-s}$  間に強い相関のため、なかなかうまくやみない。(ニニギとは、たとえば  $Y = a_0 + a_1 X + a_2 X^2$  の係数がデータ  $(Y, X, X^2)$  から定められないことを思えばよい)

最初に  $n=2$  の場合を考えてみる。高階の場合も最終的にはすべて  $n=2$  の場合に帰着する。

$$\Delta P_i = P_{i+1} - P_i \quad (3)$$

を定義すれば、式(1)で  $n=2$  の場合に

$$\Delta P_{i+2} = \beta_1 \Delta P_{i+1} + \beta_2 \Delta P_i$$

を得る。これより

$$\frac{\Delta p_{i+2}}{\Delta p_i} = \beta_1 \frac{\Delta p_{i+1}}{\Delta p_i} + \beta_2 \quad (4)$$

を得るが、 $\rightarrow$  ( $p_1, p_2, \dots, p_m$ ) の  $m-2$  個の  $\rightarrow$

$$\left( \frac{\Delta p_{i+2}}{\Delta p_i}, \frac{\Delta p_{i+1}}{\Delta p_i} \right), \quad i = 1, 2, \dots, m-2$$

をつくり、直交座標にプロットする（図2）が、最小自乗法によると、係数  $\beta_1, \beta_2$  を推定することができる。次に係数  $\beta_0$  はつぎの式に対する平均操作

$$\beta_0 = \frac{1}{m-2} \sum_{i=1}^{m-2} p_{i+2} - \hat{\beta}_1 p_{i+1} - \hat{\beta}_2 p_i$$

から推定できる。

同様に  $n=3$  の場合を考えよう。この場合式(1)から

$$\Delta p_{i+3} = \beta_1 \Delta p_{i+2} + \beta_2 \Delta p_{i+1} + \beta_3 \Delta p_i$$

を得るが、これより

$$v_i^3 = \frac{\Delta p_{i+3}}{\Delta p_i}, \quad v_i^2 = \frac{\Delta p_{i+2}}{\Delta p_i}, \quad v_i^1 = \frac{\Delta p_{i+1}}{\Delta p_i}$$

を定義すれば

$$v_i^3 = \beta_1 v_i^2 + \beta_2 v_i^1 + \beta_3$$

となる。この式の  $i$  に対する差分を考えやれば、前に述べた  $n=2$  の場合と同様にして、まず  $\beta_1, \beta_2$  を定め、つぎに  $\beta_3$ 、最後に  $\beta_0$  が定まることがわかる。この3の操作は実に簡単である。高階の自己回帰モデルは、かくして、一般に、

$$Y = \beta_1 X + \beta_2 \quad (n=2 \text{ ときは式(4)}) \quad (5)$$

型のモデルの係数推定を最小自乗法を用ひて一度行えば、他は単なる平均操作による  $\beta_3, \beta_4, \dots, \beta_n, \beta_0$  を順次求めて、2 やくことわかる。（どの程度これを必要とするかの決定は、たとえば(5)のモデルの相関性をこれに対する 12 ット（判断すればいい）以上の方法の数理統計学的考覧は省略してよい。

#### 4 実験問題へ適用してみる

1 次元圧密方程式を用ひて、層厚 16m、片面静水、初期分布一様、 $c_v = 6 \times 10^{-3} \text{ cm}^2/\text{sec}$  の洗下計算を電子計算機によつておこなった。その計算値をあたかも観測値とみなして式(1)に式(4)を用いて、将来沈下の予測を行なう。最も洗下量を 99% 以上で精度で予測するための経験的観測期間を表1に示した。3 次モデルを用ひれば沈下の 2 倍初期の挙動を短期間で予測することができる。圧密の固有値の最初の 3 つ、 $\lambda_1 : \lambda_2 : \lambda_3 = (\frac{\pi}{2})^2 : (\frac{3}{2}\pi)^2 : (\frac{5}{2}\pi)^2$  を正確に逆算されていた。しかし實際には砂土の挙動には時間があり、50% 時間後、圧密が挙動中に完了するところもあるから、1 次ないし 2 次モデルで充分である（参考文献）1) ASAOKA, A.: Soils & Foundations Vol. 18 No. 4. 2) 清岡、松尾：逆問題としての圧密沈下の解析、第14回国土質工学研究発表会、3) Hsuoka & Suzuki, 3rd ICASP Vol. 1 1977.

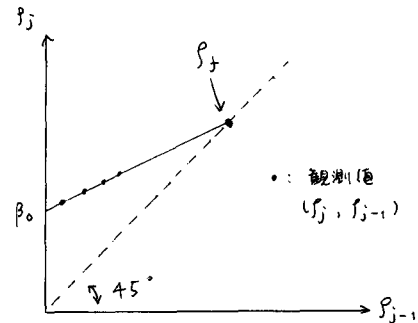


図1：1次モデルによる解法

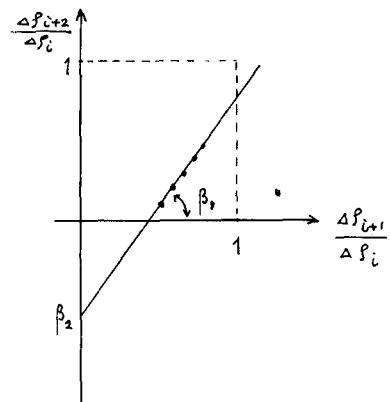


図2：2次モデルによる解法

表：1次～3次モデルの沈下予測の概略性能

精度 度 (正空隙)	観測開始日 (正空隙)	必要観測期間 (日)		
		1次近似	2次近似	3次近似
以 上	40 (20%)		375	125
	61 (25%)		250	75
	89 (30%)	688	125	
	120 (35%)	500		75 以下
以 下	158 (40%)	375		
	40 (20%)		500	150
	61 (25%)	50%	438	100
	89 (30%)	375	75	
以 上	120 (35%)	が必要	313	75 以下